

## АНАЛИТИЧЕСКОЕ РЕШЕНИЕ ЗАДАЧИ О ЗАПОЛНЕНИИ РЕНТГЕНОВСКИМ ИЗЛУЧЕНИЕМ МИШЕНИ НЕПРЯМОГО ОБЛУЧЕНИЯ ДЛЯ ИНЕРЦИАЛЬНОГО ТЕРМОЯДЕРНОГО СИНТЕЗА

Т. С. Климюк, И. В. Попов

ФГУП «РФЯЦ-ВНИИЭФ», 607188, г. Саров Нижегородской обл.

Для лазерной мишени «непрямого» облучения с использованием ряда приближений получены два аналитических решения задачи о заполнении полости этой мишени рентгеновским излучением, возникающим при лазерном облучении ее стенок. Первое решение получено с использованием диффузионного приближения, второе – из соответствующего кинетического уравнения переноса излучения. Проведено сравнение полученных решений.

*Ключевые слова:* лазерное излучение, спектральный перенос рентгеновского излучения, лазерный термоядерный синтез.

### Введение

Для исследования условий «зажигания» термоядерных мишеней недостаточно только построить дорогостоящий лазерный комплекс – необходима детальная расчетно-теоретическая проработка возможных конструкций лазерных мишеней и редакций экспериментов. Для проведения таких расчетов требуется создание новых сложных физических моделей и численных методик. В свою очередь, для тестирования разрабатываемых подходов незаменимую роль могут сыграть аналитические решения задач, моделирующих отдельные физические процессы, существенные для работы лазерных мишеней.

Для одного из основных типов лазерных мишеней, а именно мишеней «непрямого» облучения важным является вопрос о заполнении полости этой мишени рентгеновским излучением, возникающим при лазерном облучении ее стенок. Эта задача для случая сферической симметрии рассмотрена в данной статье и для нее (с использованием ряда приближений) найдены два аналитических решения.

Первое из них получено с использованием диффузионного приближения; второе – более строго, – непосредственно из соответствующего кинетического уравнения переноса излучения. В статье приводится сравнение этих решений между собой,

это позволяет определить границы применимости диффузионного подхода в рассматриваемой задаче. Это сравнение представляется весьма полезным, поскольку такой подход может заметно упростить решение реальных задач.

Методы получения аналитических решений, рассмотренные в данной статье на простейшем примере сферы с однородными по всему объему свойствами, могут быть применены и для более сложных задач.

Авторы выражают благодарность проф. Жмайло В. А. за постановку задачи и плодотворные обсуждения.

### Постановка задачи

Нестационарный перенос спектрального излучения и взаимодействие его с веществом описывается системой интегродифференциальных уравнений, которая в отсутствие рассеяния излучения имеет [1, 2]:

$$\begin{aligned} \frac{1}{c} \frac{\partial I_{\varepsilon}}{\partial t} + \bar{\Omega} \nabla I_{\varepsilon} &= J_{\varepsilon}^{em} - \kappa_{\varepsilon} I_{\varepsilon}; \\ \frac{d}{dt} E &= -\frac{1}{\rho} \int_0^{\infty} \int_{(4\pi)} (J_{\varepsilon}^{em} - \kappa_{\varepsilon} I_{\varepsilon}) d\bar{\Omega} d\varepsilon. \end{aligned} \quad (1)$$

Здесь  $t$  – время,  $c$  – скорость света;  $k_B \varepsilon = h\nu$  – энергия фотона,  $k_B$  – постоянная Больцмана,  $h$  –

постоянная Планка,  $\nu$  – частота излучения;  $I_\varepsilon(t, \vec{r}, \vec{\Omega})$  – спектральная интенсивность энергии излучения в направлении единичного вектора  $\vec{\Omega}$  из данной точки  $\vec{r}$ ; исправленные на вынужденное излучение спектральные коэффициент поглощения  $\kappa_\varepsilon$  и излучательная способность  $J_\varepsilon^{em}$  являются известными функциями температуры  $T(t, \vec{r})$  и плотности вещества  $\rho(t, \vec{r})$ ;  $E(t, \vec{r})$  – удельная внутренняя энергия вещества.

В условиях локального термодинамического равновесия излучательная способность имеет вид  $J_\varepsilon^{em}(t, \vec{r}) = \kappa_\varepsilon(t, \vec{r}) I_\varepsilon^P(t, \vec{r})$ , где  $I_\varepsilon^P(t, \vec{r}) = \frac{\varepsilon^3}{\exp(\varepsilon/T(t, \vec{r})) - 1}$  – спектральная интенсив-

ность равновесного излучения,  $\sigma_0 = \frac{2k_B^4}{c^2 h^3}$ .

Если проинтегрировать уравнение (1) по всем угловым направлениям  $\Omega$ , то получим уравнение для плотности энергии излучения  $U_\varepsilon$  [3]:

$$\frac{\partial U_\varepsilon}{\partial t} + \nabla \mathbf{S}_\varepsilon = c \kappa_\varepsilon (U_{ep} - U_\varepsilon), \quad (2)$$

где  $U_{ep} = \frac{4\pi}{c} I_\varepsilon^P$  – спектральная плотность равновесного излучения (функция Планка), а  $\mathbf{S}_\varepsilon$  – спектральный поток энергии излучения, определяемый выражением:

$$\mathbf{S}_\varepsilon = \int_{(4\pi)} I_\varepsilon \Omega d\Omega. \quad (3)$$

Уравнение (2) можно рассматривать как уравнение непрерывности для излучения данной частоты. Оно выражает закон сохранения энергии излучения и вполне аналогично уравнению энергии в гидродинамике [3].

Сделаем несколько упрощающих предположений, а именно: 1) квазистационарность потока излучения  $\left( c^{-1} \left| \frac{\partial \mathbf{S}_\varepsilon}{\partial t} \right| \ll |\kappa_\varepsilon \mathbf{S}_\varepsilon| \right)$ ; 2) слабая анизотропия поля излучения. Первое предположение имеет место при  $c \tau \kappa_\varepsilon \sim L \kappa_\varepsilon \gg 1$  ( $\tau$  – характерное время изменения потока излучения,  $L$  – размер объема, окруженного областью с существенно иной температурой, плотностью или составом), т. е. в оптически толстой среде. Второе предположение также выполняется в оптически толстой среде, т. е. при  $L \kappa_\varepsilon \gg 1$ . В этом случае можно по-

лучить приближенную связь потока с плотностью излучения:

$$\mathbf{S}_\varepsilon = -D_\varepsilon \nabla U_\varepsilon, \quad (4)$$

где  $D_\varepsilon = \frac{c}{3\kappa_\varepsilon}$  – спектральный коэффициент «диффузии» излучения.

Система уравнений (2) и (4) дает дифференциальное уравнение диффузионного типа [3]:

$$\frac{\partial U_\varepsilon}{\partial t} - \nabla (D_\varepsilon \nabla U_\varepsilon) = c \kappa_\varepsilon (U_{ep} - U_\varepsilon), \quad (5)$$

Система уравнений (1), (2) дополняется соответствующими начальными и граничными условиями [4].

Рассмотрим следующую модельную задачу, описывающую заполнение рентгеновским излучением мишени «непрямого» облучения. Имеется сферическая мишень внешним радиусом  $R_0$ . На нем задан известный спектральный поток рентгеновского излучения  $F_\varepsilon(t)$  входящий в мишень. Спектральные оптические свойства вещества мишени и капсулы с топливом, находящейся в центре мишени, считаются известными, однородными и стационарными. Среда, в которой распространяется излучение, является слишком холодной, чтобы давать заметный вклад в излучение:  $J_\varepsilon = 4\pi J_\varepsilon^{em} = c \kappa_\varepsilon U_{ep} \ll \kappa_\varepsilon U_\varepsilon$ .

Требуется определить спектральную плотность и интенсивность излучения для  $t > t_0$ .

### 1. Решение модельной задачи в диффузионном приближении

Краевая задача в указанной выше постановке, без капсулы с топливом в центре мишени, в диффузионном приближении выглядит следующим образом:

$$\begin{cases} \frac{\partial U_\varepsilon}{\partial t} - D_\varepsilon \frac{1}{r^2} \frac{\partial}{\partial r} \left( r^2 \frac{\partial U_\varepsilon}{\partial r} \right) = -c \kappa_\varepsilon U_\varepsilon, \\ -D_\varepsilon \frac{\partial U_\varepsilon}{\partial r} \Big|_{r=R_0} = -F_\varepsilon(t), \\ -D_\varepsilon \frac{\partial U_\varepsilon}{\partial r} \Big|_{r=0} = 0, \\ U_\varepsilon(r, t=0) = 0; \\ 0 \leq r \leq R_0, \kappa_\varepsilon = \text{const} \neq \kappa_\varepsilon(r, t). \end{cases} \quad (6)$$

Сделав замену  $U_\varepsilon(r, t) = \frac{V_\varepsilon(r, t)}{r} e^{-\kappa_\varepsilon t}$ , сведем (6) к следующей линейной однородной задаче:

$$\begin{cases} \frac{\partial V_\varepsilon}{\partial t} - D_\varepsilon \frac{\partial^2 V_\varepsilon}{\partial r^2} = 0, \\ -\frac{\partial V_\varepsilon}{\partial r} \Big|_{r=R_0} + \frac{V_\varepsilon(R_0, t)}{R_0} = -\frac{\Phi_\varepsilon(t)}{R_0}, \\ V_\varepsilon(0, t) = 0, \\ V_\varepsilon(r, t=0) = 0; \end{cases} \quad (7)$$

для нахождения новой неизвестной функции  $V_\varepsilon(r, t)$ . В (7) введено обозначение  $\Phi_\varepsilon(t) = \frac{R_0^2}{D_\varepsilon} e^{\kappa_\varepsilon t} F_\varepsilon(t)$ .

Применим к уравнению и граничным условиям задачи (7) преобразование Лапласа [5]:

$$L\{V_\varepsilon(r, t)\} = v_\varepsilon = \int_0^\infty e^{-pt} V_\varepsilon(r, t) dt. \quad (8)$$

Получаем вспомогательную задачу для функции  $v_\varepsilon(r, p)$ :

$$\begin{cases} D_\varepsilon \frac{\partial^2 v_\varepsilon}{\partial r^2} - p v_\varepsilon = 0, & 0 < r < R_0, \\ -\frac{\partial v_\varepsilon}{\partial r} \Big|_{r=R_0} + \frac{1}{R_0} v_\varepsilon(R_0, p) = -\frac{1}{R_0} \phi_\varepsilon(p), \\ v_\varepsilon(0, p) = 0, \end{cases} \quad (9)$$

где  $\phi_\varepsilon(p)$  – изображение оригинала функции  $\Phi_\varepsilon(t)$ .

Решая (9), получим:

$$v_\varepsilon(p) = \phi_\varepsilon(p) \frac{\text{sh}(q_\varepsilon r)}{q_\varepsilon R_0 \text{ch}(q_\varepsilon R_0) - \text{sh}(q_\varepsilon R_0)}, \quad (10)$$

где  $q_\varepsilon = \sqrt{\frac{p}{D_\varepsilon}}$ ,  $\text{sh}(r)$  и  $\text{ch}(r)$  – соответственно гиперболические синус и косинус.

Далее для нахождения решения исходной задачи (6) достаточно найти оригинал  $V_\varepsilon(r, t)$  функции-изображения  $v_\varepsilon(r, p)$ , определяемой выражением (10), и, сделав обратную замену, вернуться к исходной функции спектральной плотности излучения  $U_\varepsilon(r, t)$ .

Окончательное решение задачи (6) имеет вид:

$$U_\varepsilon(r, t) = \frac{3}{R_0} \int_0^t e^{-\kappa_\varepsilon(t-\tau)} F_\varepsilon(\tau) d\tau + \frac{2}{r} \int_0^t e^{-\kappa_\varepsilon(t-\tau)} F_\varepsilon(\tau) \sum_{n=1}^\infty \frac{e^{-\frac{D_\varepsilon \alpha_n^2 (t-\tau)}{R_0^2}} \sin\left(\alpha_n \frac{r}{R_0}\right)}{\sin(\alpha_n)} d\tau, \quad (11)$$

где  $\alpha_n$  – положительные корни уравнения  $\text{tg}\alpha = \alpha$ .

В пределе при  $\kappa \rightarrow 0$  решение (11) диффузионного уравнения перейдет в

$$U_\varepsilon(t) = \frac{3}{R_0} \int_0^t F_\varepsilon(\tau) d\tau. \quad (12)$$

То есть в случае оптически тонкого вещества внутри мишени вся энергия излучения, родившегося на границе  $R_0$  за время  $t$ , распределяется равномерно по всему объему мишени.

Временную зависимость потока  $F_\varepsilon(t)$  рентгеновского излучения на лазерных установках можно аппроксимировать функцией

$$F_\varepsilon(t) = \begin{cases} \frac{Q}{8R_0^2 t_0} \sin \frac{\pi t}{t_0}, & 0 \leq t \leq t_0, \\ 0, & \begin{cases} t < 0, \\ t > t_0, \end{cases} \end{cases} \quad (13)$$

где  $t_0 = 9 \cdot 10^{-9}$  с – длительность лазерного импульса, рождающего рентгеновское излучение полной энергии  $Q$ ,  $R_0 = 0,5$  см.

На рис. 1 и 2 представлены решения диффузионной задачи (11) о заполнении рентгеновским излучением полости мишени в зависимости от времени и от координаты для функции потока  $F_\varepsilon(t)$  (13).

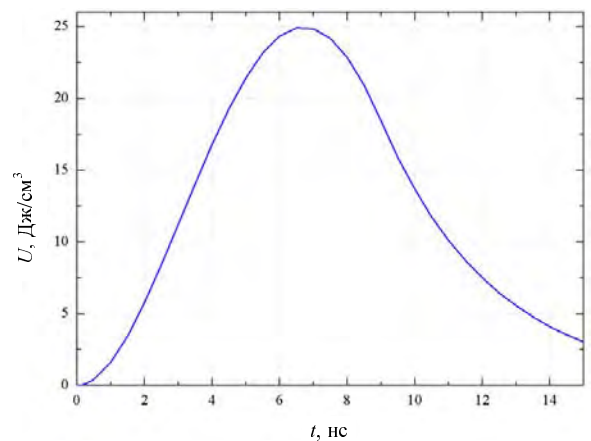


Рис. 1. Зависимость от времени плотности излучения (11) в точке  $r = 0,3$  см для  $\kappa_\varepsilon = 10^{-2}$  см $^{-1}$ ,  $Q = 31,4$  Дж

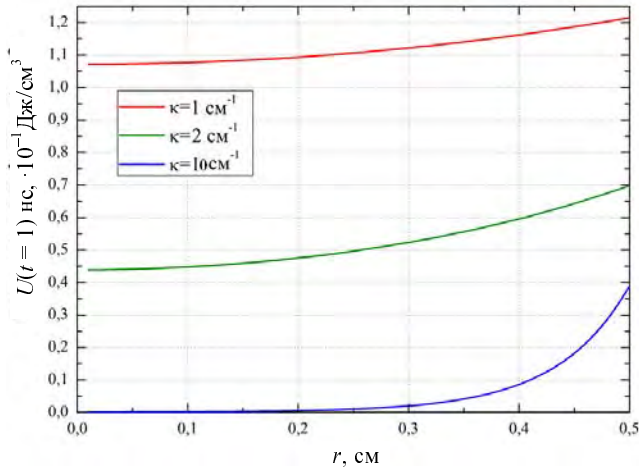


Рис. 2. Распределения плотности излучения для различных коэффициентов поглощения в зависимости от радиуса в момент времени  $t = 1$  нс,  $Q = 31,4$  Дж

## 2. Решение модельной задачи в кинетическом приближении

Рассмотрим ту же задачу, но для ее решения применим не диффузионный подход, а кинетический (1).

Из векторного анализа известно, что скалярное произведение  $\mathbf{\Omega} \nabla I_\epsilon$  обозначает производную функции  $I_\epsilon$  по направлению единичного вектора  $\mathbf{\Omega}$ . Замечая, что дифференциальное выражение в левой части уравнения (1) представляет собой полную производную от интенсивности данного пакета квантов вдоль луча их распространения, перепишем уравнение для квазистационарного и пренебрежимо малой излучательной способности случаев в виде

$$\frac{dI_\epsilon}{ds} + \kappa_\epsilon I_\epsilon = 0. \quad (14)$$

Это уравнение можно рассматривать как обыкновенное линейное уравнение относительно интенсивности вдоль луча  $\mathbf{\Omega}$ . Решение его имеет вид [3]:

$$I_\epsilon(s) = I_\epsilon^* \exp \left[ - \int_{s_0}^s \kappa_\epsilon ds' \right]. \quad (15)$$

Здесь  $I_\epsilon(s)$  – интенсивность излучения, которая рассматривается как функция координаты  $s$  вдоль луча,  $I_\epsilon^*$  – интенсивность на границе области  $R_0$ . На рис. 3 показаны пределы интегрирования в формуле (15) для рассматриваемой нами задачи.

Пользуясь рекомендацией, данной в [3], обобщим решение (15) на нестационарный случай, когда искомая интенсивность зависит от времени.

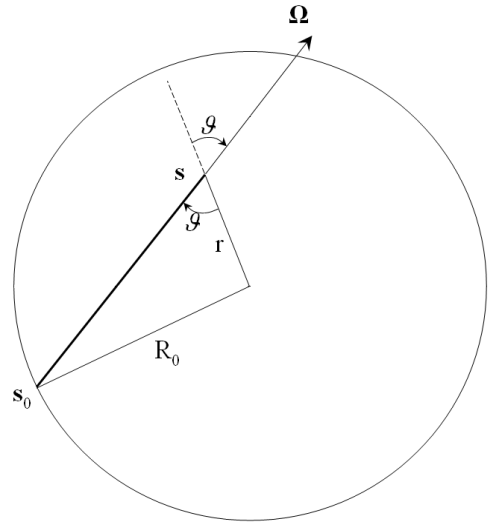


Рис. 3. Схема, объясняющая пределы интегрирования в формуле (15)

Интенсивность в данной точке и в данном направлении зависит от граничного условия в момент, соответствующий тому времени, за которое квант из точки с координатой  $s_0$  прилетит в рассматриваемую точку  $s$ , т. е. в момент времени  $t - \frac{s - s_0}{c}$ .

Коэффициент поглощения  $\kappa_\epsilon$  в нашей задаче стационарный, но при интегрировании по лучу в (15) нужно использовать значения  $\kappa_\epsilon$ , соответствующие предшествующему моменту времени, отстающему от данного на время пути от промежуточной точки до точки  $s$ .

Тогда интенсивность в точке  $s$  в направлении  $\mathbf{\Omega}$  будет выражаться:

$$I_\epsilon(s, t) = I_\epsilon^* \left( s_0, t - \frac{s - s_0}{c} \right) \exp \left[ - \int_{s_0}^s \kappa_\epsilon ds' \right]. \quad (16)$$

Для нахождения плотности излучения необходимо проинтегрировать интенсивность по всем направлениям  $\mathbf{\Omega}$  [3]:

$$U_\epsilon(r, t) = \frac{1}{c} \int_{(4\pi)} I_\epsilon(r, \mathbf{\Omega}, t) d\mathbf{\Omega} = \frac{1}{c} \int_0^{2\pi} d\psi \int_0^\pi I_\epsilon(r, \vartheta, t) \sin \vartheta d\vartheta. \quad (17)$$

Воспользовавшись рис. 3, выразим  $s - s_0$  через  $r$  и  $\vartheta$  по теореме косинусов:

$$R_0^2 = (s - s_0)^2 + r^2 - 2(s - s_0)r \cos \vartheta, \quad (18)$$

$$s - s_0 = r\mu + \sqrt{r^2(\mu^2 - 1) + R_0^2};$$

где  $\mu = \cos \vartheta$ .

Тогда интенсивность излучения равна:

$$I_{\varepsilon}(r, \mu, t) = I_{\varepsilon}^* \left( s_0, t - \frac{r\mu + \sqrt{r^2(\mu^2 - 1) + R_0^2}}{c} \right) \times \exp \left[ -\kappa_{\varepsilon} \left( r\mu + \sqrt{r^2(\mu^2 - 1) + R_0^2} \right) \right]. \quad (19)$$

Для плотности излучения из (17) и (19) получаем:

$$U_{\varepsilon}(r, t) = \frac{2\pi}{c} \int_{-1}^1 I_{\varepsilon}^* \left( s_0, t - \frac{r\mu + \sqrt{r^2(\mu^2 - 1) + R_0^2}}{c} \right) \times \exp \left( -\kappa_{\varepsilon} \left( r\mu + \sqrt{r^2(\mu^2 - 1) + R_0^2} \right) \right) d\mu. \quad (20)$$

Для нахождения решения кинетического уравнения необходимо задать функцию интенсивности излучения на границе области  $R_0$ . Причем это граничное условие должно быть согласовано с граничным условием решенной в предыдущем разделе диффузионной задачи, которое задавалось функцией  $F_{\varepsilon}(t)$  потока на границе.

Поток  $F_{\varepsilon}(t)$  создается излучением, как входящим в сферу  $\left( \frac{\pi}{2} < \vartheta < \pi, \mu = \cos \vartheta < 0 \right)$ , так и выходящим из нее:  $0 < \vartheta < \frac{\pi}{2}, \mu = \cos \vartheta > 0$ , единственный источник которого в рассматриваемой задаче – это излучение, приходящее в данную точку границы сферической области из остальных ее точек:

$$-F_{\varepsilon}(t) = 2\pi \int_{-1}^0 I_{\varepsilon}^*(\mu, t) \mu d\mu + 2\pi \int_0^1 I_{\varepsilon}^* \left( -\mu, t - \frac{2\mu R_0}{c} \right) e^{-\kappa_{\varepsilon} 2\mu R_0} \mu d\mu. \quad (21)$$

Вид второго слагаемого формулы (21) пояснен на рис. 4.

Граничную интенсивность будем считать не зависящей от угла  $\vartheta$ . Сделав замену переменных во втором интеграле (21), приходим к уравнению:

$$-\frac{F_{\varepsilon}(t)}{2\pi} = \int_{-1}^0 \left( I_{\varepsilon}^*(t) - I_{\varepsilon}^* \left( t + \frac{2\mu R_0}{c} \right) e^{2\mu R_0 \kappa_{\varepsilon}} \right) \mu d\mu. \quad (22)$$

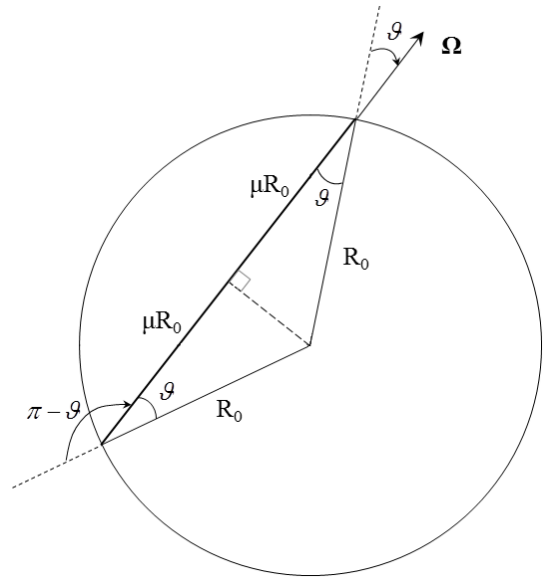


Рис. 4. Схема, поясняющая формулу (21)

Термоядерная мишень имеет довольно небольшие размеры, и свет в ней распространяется достаточно быстро  $\left( \frac{2R_0}{c} \sim 0,03 \text{ нс} \right)$ , поэтому можно считать время распространения света от одной точки поверхности до другой малым параметром, т. е.  $\frac{2\mu R_0}{c} \ll t$ . Разложив функцию  $I_{\varepsilon}^* \left( t + \frac{2\mu R_0}{c} \right)$  в ряд Тейлора по этому малому параметру, получим:

$$I_{\varepsilon}^* \left( t + \frac{2\mu R_0}{c} \right) = I_{\varepsilon}^*(t) + \frac{\partial I_{\varepsilon}^*(t)}{\partial t} \frac{2\mu R_0}{c} + O \left( \frac{2\mu R_0}{c} \right)^2. \quad (23)$$

Взяв первые два слагаемых в разложении (23), получим из (22) следующее равенство:

$$I_{\varepsilon}^*(t) \int_{-1}^0 \left( 1 - e^{2\kappa_{\varepsilon} \mu R_0} \right) \mu d\mu - \frac{\partial I_{\varepsilon}^*(t)}{\partial t} \frac{2R_0}{c} \int_{-1}^0 e^{2\kappa_{\varepsilon} \mu R_0} \mu^2 d\mu = -\frac{F_{\varepsilon}(t)}{2\pi}. \quad (24)$$

Выражение (24) – неоднородное дифференциальное уравнение первого порядка относительно неизвестной функции  $I_{\varepsilon}^*$ . Для того чтобы привести это уравнение к более наглядному виду, введем обозначения:

$$A(\kappa_\varepsilon) = \int_{-1}^0 \left(1 - e^{-2\kappa_\varepsilon \mu R_0}\right) \mu d\mu_0 = \frac{1}{4} \left( \frac{1 - e^{-2\kappa_\varepsilon R_0} (1 + 2\kappa_\varepsilon R_0)}{\kappa_\varepsilon^2 R_0^2} - 2 \right); \quad (25)$$

$$B(\kappa_\varepsilon) = \frac{2R_0}{c} \int_{-1}^0 e^{2\kappa_\varepsilon \mu R_0} \mu^2 d\mu = \frac{1 - e^{-2\kappa_\varepsilon R_0} (1 + 2\kappa_\varepsilon R_0 (1 + \kappa_\varepsilon R_0))}{2c\kappa_\varepsilon^3 R_0^2}.$$

Уравнение (24) примет вид:

$$\frac{\partial I_\varepsilon^*(t)}{\partial t} - \frac{A(\kappa_\varepsilon)}{B(\kappa_\varepsilon)} I_\varepsilon^*(t) = \frac{F_\varepsilon(t)}{2\pi B(\kappa_\varepsilon)}. \quad (26)$$

Решив это уравнение, получим:

$$I_\varepsilon^*(t) = \frac{1}{2\pi B(\kappa_\varepsilon)} \int_0^t F_\varepsilon(\tau) \exp\left(\frac{A(\kappa_\varepsilon)(t-\tau)}{B(\kappa_\varepsilon)}\right) d\tau. \quad (27)$$

Для плотности излучения с учетом сделанных выше предположений имеем:

$$U_\varepsilon(r, t) = \frac{2\pi}{c} \int_{-1}^1 I_\varepsilon^*\left(t - \frac{s-s_0}{c}\right) e^{-\kappa_\varepsilon(s-s_0)} d\mu, \quad (28)$$

где  $s - s_0$  зависит от  $\mu$ ,  $r$  и определяется формулой (18).

Рассмотрим два предельных случая полученных решений в кинетическом приближении:

а) оптически тонкая среда ( $\kappa_\varepsilon \rightarrow 0$ ). В этом случае  $\lim_{\kappa_\varepsilon \rightarrow 0} \frac{A(\kappa_\varepsilon)}{B(\kappa_\varepsilon)} = 0$ ,  $\lim_{\kappa \rightarrow 0} \frac{1}{B(\kappa)} = \frac{3c}{2R_0}$  и граничная интенсивность выражаются формулой:

$$I_\varepsilon^*(t) = \frac{3c}{4\pi R_0} \int_0^t F_\varepsilon(\tau) d\tau, \quad (29)$$

а плотность излучения в первом приближении примет вид:

$$U_\varepsilon(r, t) = \frac{3}{R_0} \int_0^t F_\varepsilon(\tau) d\tau. \quad (30)$$

Выражение (30) полностью совпадает с предельным значением решения диффузионного уравнения – с формулой (12);

б) оптически толстая среда ( $\kappa_\varepsilon \rightarrow \infty$ ). В этом случае сам вид функции  $I_\varepsilon^*(t)$  претерпит изменения, так как изменится уравнение для его поиска. Умножая уравнение (26) на  $\frac{B(\kappa_\varepsilon)}{A(\kappa_\varepsilon)}$ , полу-

чим  $\frac{B(\kappa)}{A(\kappa)} I_0'(t) - I_0(t) = \frac{F(t)}{2\pi A(\kappa)}$ ; при этом  $\lim_{\kappa_\varepsilon \rightarrow \infty} \frac{B(\kappa_\varepsilon)}{A(\kappa_\varepsilon)} = 0$ ,  $\lim_{\kappa_\varepsilon \rightarrow \infty} \frac{1}{A(\kappa_\varepsilon)} = -2$ .

В результате функция интенсивности на границе будет определяться выражением:

$$I_\varepsilon^*(t) = \frac{F_\varepsilon(t)}{\pi}, \quad (31)$$

которое, как легко заметить, совпадает с граничным условием на интенсивность в случае, когда на границе задан односторонний поток излучения со стенки бокса. Этот результат не удивителен, ведь при большом коэффициенте поглощения все излучение, поступающее в сферу, поглощается и излучение из сферы не выходит.

На рис. 5 построены решения задачи о заполнении рентгеновским излучением мишени, найденные для диффузионного (11) и кинетического (28) подходов. Как можно заметить, решения близки друг к другу – отличия не более 12%. На рис. 6 показано сравнение плотности излучения для диффузионного и кинетического приближений от коэффициента поглощения среды в одной точке ( $r = 0,3$  см) в момент времени  $t = 4$  нс.

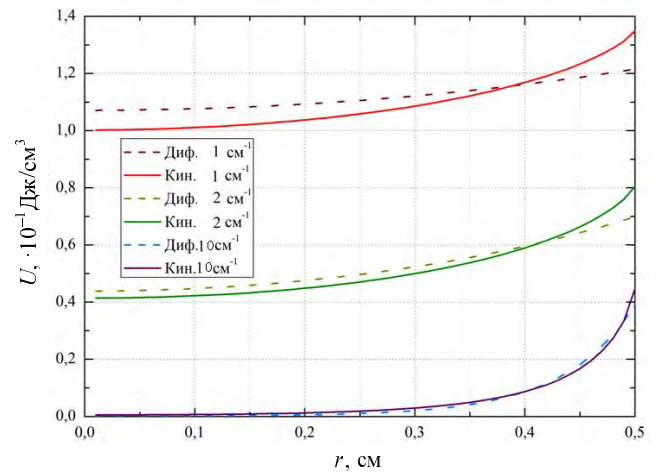


Рис. 5. Решение задачи в кинетическом и диффузионном приближениях для различных коэффициентов поглощения в момент времени  $t = 1$  нс,  $Q = 31,4$  Дж

Рассмотрев решение кинетического уравнения в простейшем случае – в боксе без капсулы – можно распространить описанный метод на решение задачи для сферической области, в центре которой находится однородная «капсула» с топливом.

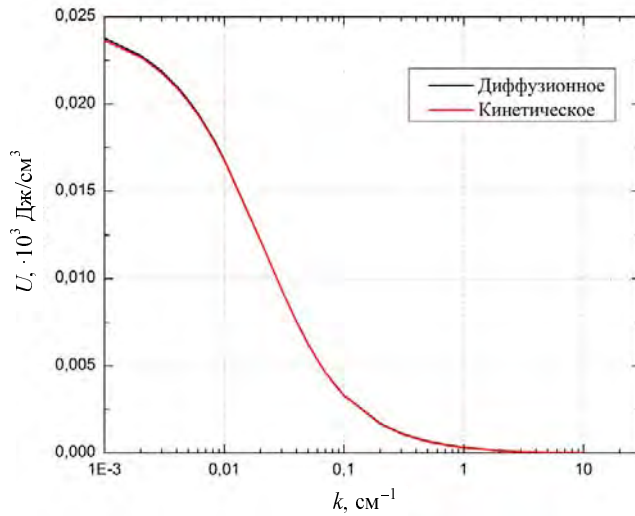


Рис. 6. Зависимость от коэффициента поглощения плотности излучения на расстоянии 0,3 см от центра для двух решений задачи переноса излучения в однородной мишени;  $t = 4$  нс,  $Q = 31,4$  Дж

Рассмотрим следующую модификацию рассмотренной задачи. Пусть теперь внутри сферы радиусом  $R_0$  с однородным по пространству коэффициентом поглощения  $\kappa_1$  находится сферическая область радиусом  $a$  с однородным коэффициентом поглощения  $\kappa_2$ . Выражение (16) в этом случае примет вид:

$$I_{\varepsilon}(s, t) = \begin{cases} I_{\varepsilon}^* \left( s_0, t - \frac{s-s_0}{c} \right) \exp \left[ -\kappa_1 \left( (s-s_0) - (s_2-s_1) \right) - \kappa_2 (s_2-s_1) \right] & \text{для } r > a; \\ I_{\varepsilon}^* \left( s_0, t - \frac{s-s_0}{c} \right) \exp \left[ -\kappa_1 (s_1-s_0) - \kappa_2 (s-s_1) \right] & \text{для } r \leq a, \end{cases} \quad (32)$$

Оба случая  $r > a$  и  $r \leq a$  проиллюстрированы на рис. 7.

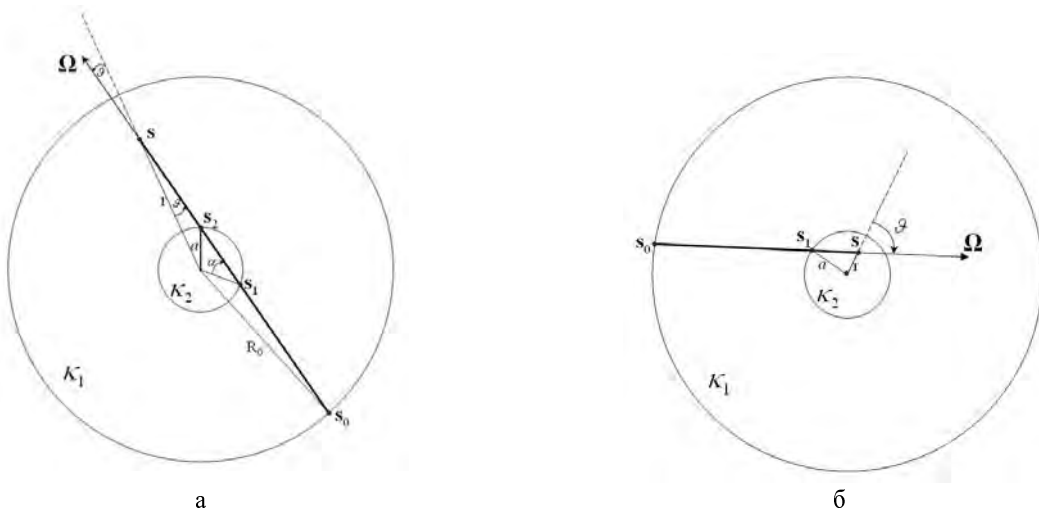


Рис. 7. Решение кинетического уравнения для неоднородной области с капсулой в центре: а – случай  $r > a$ ; б – случай  $r \leq a$

Выразим нужные нам величины через  $r$  и  $\vartheta$ :

а)  $r > a$ . В этом случае имеем:

$$s_2 - s_1 = 2\sqrt{r^2(\mu^2 - 1) + a^2}; \quad (33)$$

Подставив (33) в (32) и учитывая (18), получим

$$I_\varepsilon(r, \mu, t) = I_\varepsilon^* \left( t - \frac{r\mu + \sqrt{r^2(\mu^2 - 1) + R_0^2}}{c} \right) \times \\ \times \exp \left[ -\kappa_1 \left( r\mu + \sqrt{r^2(\mu^2 - 1) + R_0^2} - 2\sqrt{r^2(\mu^2 - 1) + a^2} \right) - \kappa_2 \left( 2\sqrt{r^2(\mu^2 - 1) + a^2} \right) \right]; \quad (34)$$

б)  $r \leq a$ , тогда

$$s - s_1 = r\mu + \sqrt{r^2(\mu^2 - 1) + a^2}; \quad (35)$$

аналогично из (18), (32) и (35) получим

$$I_\varepsilon(r, \mu, t) = I_\varepsilon^* \left( t - \frac{r\mu + \sqrt{r^2(\mu^2 - 1) + R_0^2}}{c} \right) \times \\ \times \exp \left[ -\kappa_1 \left( \sqrt{r^2(\mu^2 - 1) + R_0^2} - \sqrt{r^2(\mu^2 - 1) + a^2} \right) - \kappa_2 \left( r\mu + \sqrt{r^2(\mu^2 - 1) + a^2} \right) \right]. \quad (36)$$

При  $r > a$  функция  $I_\varepsilon(r, \mu, t)$  выражается формулой (34) только тогда, когда угол  $\vartheta$  таков, что луч  $s_0s$  пересекает внутреннюю сферу радиусом  $a$ :

$$\vartheta < \arccos \left( \sqrt{1 - \frac{a^2}{r^2}} \right). \quad (37)$$

Для остальных значений  $\vartheta$  решение такое же, как и для однородной среды, т. е. выражается формулой (19).

Условие потока на границе должно задаваться в виде, аналогичном равенству (21), но с учетом того, что на пути у лучей, удовлетворяющих условию (37), находится область с коэффициентом поглощения  $\kappa_2$ :

$$-F_\varepsilon(t) = 2\pi \int_{\pi/2}^{\pi} I_\varepsilon^*(\vartheta, t) \cos \vartheta \sin \vartheta d\vartheta + 2\pi \int_{\arccos \sqrt{1 - \frac{a^2}{R_0^2}}}^{\pi/2} I_\varepsilon^* \left( \pi - \vartheta, t - \frac{2R_0 \cos \vartheta}{c} \right) e^{-\kappa_2 2R_0 \cos \vartheta} \cos \vartheta \sin \vartheta d\vartheta + \\ + 2\pi \int_0^{\arccos \sqrt{1 - \frac{a^2}{R_0^2}}} I_\varepsilon^* \left( \pi - \vartheta, t - \frac{2R_0 \cos \vartheta}{c} \right) e^{\left[ -\kappa_1 \left( 2\mu R_0 - 2\sqrt{R_0^2(\mu^2 - 1) + a^2} \right) - 2\kappa_2 \sqrt{R_0^2(\mu^2 - 1) + a^2} \right]} \cos \vartheta \sin \vartheta d\vartheta. \quad (38)$$

Однако учтем, что пробег излучения в веществе капсулы настолько мал, что в данной простой модели (не содержащей никаких других процессов, кроме объемного поглощения прямолинейно распространяющегося света) можно считать, что кванты, распространяющиеся с границы в направлениях (37), не долетают до противоположной границы. Тогда пренебрегая третьим слагаемым в (38), раскладывая граничную интенсивность в ряд Тейлора, получим дифференциальное уравнение вида (26), где коэффициенты  $A(\kappa_\varepsilon)$  и  $B(\kappa_\varepsilon)$  теперь имеют соответственно вид:

$$\tilde{A}(\kappa_\varepsilon) = -\frac{\left( 2\kappa_1 \sqrt{R_0^2 - a^2} + 1 \right) \exp \left( -2\kappa_1 \sqrt{R_0^2 - a^2} \right)}{4\kappa_1^2 R_0^2} + \frac{1}{4\kappa_1^2 R_0^2} - \frac{1}{2}; \quad (39) \\ \tilde{B}(\kappa_\varepsilon) = \frac{1 - \exp \left( -2\kappa_1 \sqrt{R_0^2 - a^2} \right) \left( 2\kappa_1 \sqrt{R_0^2 - a^2} + 2\kappa_1^2 R_0^2 - 2a^2 \kappa_1^2 + 1 \right)}{2c\kappa_1^3 R_0^2}.$$



Выражения (39), так же как и в случае однородной сферы без капсулы, получены в предположении об изотропности интенсивности на границе  $R_0$ . Граничная интенсивность выражается формулой (27) с коэффициентами (39).

На рис. 8 красной сплошной линией изображена плотность излучения, полученная из решения кинетического уравнения – (34), (36) – с граничным условием (27), (39), рассчитанным с функцией потока (13); черной линией то же, но в диффузионном приближении (11); пунктирной линией изображена плотность излучения, рассчитанная через кинетическое уравнение в задаче для однородной сферической области без капсулы (20) с граничным потоком (13).

Если обратить внимание на границу двух сред с разными коэффициентами поглощения (см. рис. 8), то можно заметить излом решения диффузионной задачи, в то время как плотность излучения, найденная из кинетического уравнения, плавно уменьшается при приближении к капсуле.

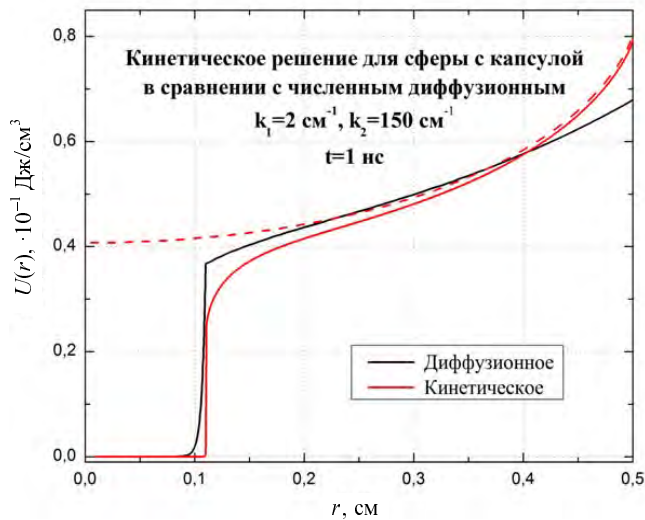


Рис. 8. Сравнение плотностей излучения, полученных в кинетическом и диффузионном приближениях для сферы с капсулой в центре. Пунктиром изображено решение кинетического уравнения для однородной сферической области (20).  $Q = 31,4$  Дж

## Заключение

В статье для лазерной мишени «непрямого» облучения с использованием ряда приближений получены два аналитических решения задачи о заполнении полости этой мишени рентгеновским излучением, возникающим при лазерном облучении ее стенок. Первое решение получено с использованием диффузионного приближения, второе из соответствующего кинетического уравнения переноса излучения с аналогичным диффузионной задаче граничным условием. Спектральные оптические свойства вещества мишени и капсулы с топливом, находящейся в центре мишени, считались известными, однородными и стационарными.

При сравнении этих двух аналитических решений получено, что они различаются незначительно.

## Список литературы

1. Суржиков С. Т. Тепловое излучение газов и плазмы М.: Изд-во МГТУ им. Н. Э. Баумана, 2004.
2. Pomraning G. C. The equations of radiation hydrodynamics. N. Y.: Pergamon Press, 1973.
3. Зельдович Я. Б., Райзер Ю. П. Физика ударных волн и высокотемпературных гидродинамических явлений. М.: Наука, 1966.
4. Четверушкин Б. Н. Математическое моделирование задач динамики излучающего газа. М.: Наука, 1985.
5. Карслоу Г., Егер Д. Теплопроводность твердых тел. М.: Наука, 1964.

Статья поступила в редакцию 10.05.2016